

РОЗКЛИНЮВАННЯ ПРУЖНОЇ ПІВПЛОЩИНИ ВЗДОВЖ МЕЖОВОЇ НАПІВНЕСКІНЧЕНОЇ ТРІЩИНИ

Розглянуто рівновагу пружної півплощини, на межі якої розміщена напівнескінченна тріщина. Берег тріщини на певній відстані від її вершини контактує з жорстким напівнескінченим клином, а поблизу неї – із жорсткою основою. В області контакту берега тріщини та жорсткої основи враховано сили тертя. Із застосуванням методу Вінера – Гопфа отримано аналітичний розв'язок задачі. Знайдено межі областей контакту, розподіли напружень у цих областях і на межі півплощини поза тріщиною, а також коефіцієнт інтенсивності зсувних напружень.

Ключові слова: розклинювання, межева тріщина, модель Комніноу, інтеграл Мелліна, метод Вінера – Гопфа, коефіцієнт інтенсивності зсувних напружень.

Задачі про розклинювання пружної однорідної площини розглянуто в роботах [1, 4, 10, 19, 22–25] (див. також огляди [13, 14, 18]). Розклинювання кусково-однорідної площини скінченим клином уздовж напівнескінченної або скінченної міжфазної тріщини з урахуванням гладкого контакту берегів тріщини біля її вершини за моделлю Комніноу [20] вивчено в роботах [14–16]. Нижче наведено розв'язання задачі про межеве розклинювання півплощини напівнескінченим клином з невідомими заздалегідь межами областей гладкого контакту клина з берегом тріщини та фрикційного контакту між жорсткою основою та берегом тріщини в околі її вершини. Цю задачу можна розглядати як граничний випадок задачі про розклинювання кусково-однорідної площини, коли один із матеріалів є абсолютно жорстким.

1. Постановка задачі. Розглянемо пружну півплощину $0 \leq r < \infty$, $0 \leq \vartheta \leq \pi$ з модулем зсуву G і коефіцієнтом Пуассона ν , яка з'єднана уздовж променя $\vartheta = 0$ із жорсткою основою. Уздовж напівнескінченної тріщини $\vartheta = \pi$ площина розклинюється абсолютно жорстким клином ширини h (рис. 1). Край клина заокруглений так, що його ширина на краю плавно спадає за квадратичним законом, а його верхня грань зрізана вздовж параболи радіуса кривини R у своїй вершині. Вважаємо, що верхня грань клина гладко контактує з берегом тріщини на інтервалі $r_1 \leq r < \infty$. Відстань r_1 від вершини тріщини до області контакту $r_1 \leq r < \infty$, $\vartheta = \pi$ заздалегідь невідома, а відстань r_2 до незрізаної частини клина задана. Вважаємо також, що, згідно з моделлю Комніноу [20], поблизу вершини тріщини її береги контактують в області $0 < r \leq r_0$ невідомого розміру r_0 , де нормальні та дотичні напруження пов'язані законом тертя Амонтона.

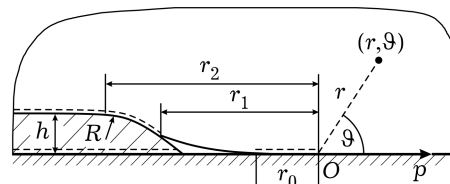



Рис. 1

Крайові умови задачі запишемо у вигляді

$$\begin{aligned} u_r|_{\vartheta=0} &= 0, & u_\vartheta|_{\vartheta=0} &= 0, & 0 \leq r < \infty, \\ u_\vartheta|_{\vartheta=\pi} &= 0, & \tau_{r\vartheta}|_{\vartheta=\pi} &= \mu_0 \sigma_\vartheta|_{\vartheta=\pi}, & 0 < r \leq r_0, \\ \tau_{r\vartheta}|_{\vartheta=\pi} &= 0, & r_0 < r < \infty, & \sigma_\vartheta|_{\vartheta=\pi} &= 0, & r_0 < r < r_1, \end{aligned}$$

 v.i.ostryk@gmail.com

$$u_{\vartheta}|_{\vartheta=\pi} = -h + \frac{1}{2R}(r - r_2)^2 H(r_2 - r), \quad r_1 \leq r < \infty, \quad (1)$$

де μ_0 – коефіцієнт тертя, $H(r)$ – функція Гевісайда. Знак при μ_0 у четвертій умові із (1) вибрано за припущення, що точки берега тріщини, які знаходяться у контакті з основою, рухаються у напрямку від вершини тріщини, тобто

$$u_r|_{\vartheta=\pi} > 0, \quad 0 < r \leq r_0, \quad (2)$$

що необхідно перевірити при розв'язанні задачі.

2. Інтегральне рівняння задачі. Розглянемо основну змішану задачу для пружної півплощини з однією точкою ($r = 0$) зміни крайових умов. Крайові умови цієї задачі складаються з перших двох із умов (1) і таких умов:

$$\sigma_{\vartheta}|_{\vartheta=\pi} = \sigma(r), \quad \tau_{r\vartheta}|_{\vartheta=\pi} = \tau(r), \quad 0 \leq r < \infty. \quad (3)$$

Розв'язок задачі отримуємо методом інтегрального перетворення Мелліна за радіальною координатою r . На межі півплощини, зокрема, маємо

$$\begin{aligned} \sigma_{\vartheta}|_{\vartheta=0} &= -\frac{1-\nu}{(3-4\nu)\pi i} \int_{c-i\infty}^{c+i\infty} [2(1-\nu)\bar{\sigma}(s) \cos \pi s - (1-2\nu)\bar{\tau}(s) \sin \pi s] \frac{r^{-s-1}}{\Delta(s)} ds, \\ \tau_{r\vartheta}|_{\vartheta=0} &= -\frac{1-\nu}{(3-4\nu)\pi i} \int_{c-i\infty}^{c+i\infty} [(1-2\nu)\bar{\sigma}(s) \sin \pi s + 2(1-\nu)\bar{\tau}(s) \cos \pi s] \frac{r^{-s-1}}{\Delta(s)} ds, \\ 2G u_{\vartheta}|_{\vartheta=\pi} &= \frac{1}{2\pi i} \int_{c-i\infty}^{c+i\infty} [2(1-\nu)\bar{\sigma}(s) \cos \pi s - (1-2\nu)\bar{\tau}(s) \sin \pi s] \frac{r^{-s}}{s\Delta(s)} ds, \\ 2G u_r|_{\vartheta=\pi} &= \frac{1}{2\pi i} \int_{c-i\infty}^{c+i\infty} [(1-2\nu)\bar{\sigma}(s) \sin \pi s + 2(1-\nu)\bar{\tau}(s) \cos \pi s] \frac{r^{-s}}{s\Delta(s)} ds, \\ \bar{\sigma}(s) &= \int_0^{\infty} \sigma(y)y^s dy, \quad \bar{\tau}(s) = \int_0^{\infty} \tau(y)y^s dy, \quad -\frac{1}{2} < c < 0, \end{aligned}$$

$$\Delta(s) = \cos \pi(s + i\theta) \cos \pi(s - i\theta), \quad \theta = \frac{1}{2\pi} \ln(3-4\nu). \quad (4)$$

Зауважимо, що розв'язок (4) можна також отримати із розв'язку відповідної змішаної задачі для клина [12], поклавши кут розхилу клина рівним π , або із розв'язку аналогічної задачі для двох спряжених півплощин [6, 8], одна з яких є абсолютно жорсткою.

Введемо невідому функцію контактного тиску

$$q(r) = \begin{cases} -\sigma_{\vartheta}|_{\vartheta=\pi}, & 0 < r \leq r_0, \\ 0, & r_0 < r < r_1, \\ -\sigma_{\vartheta}|_{\vartheta=\pi}, & r_1 \leq r < \infty. \end{cases} \quad (5)$$

Поклавши у (4), згідно з (5) і четвертою, п'ятою та шостою рівністю із (1),

$$\bar{\sigma}(s) = -\left(\int_0^{r_0} + \int_{r_1}^{\infty} \right) q(y)y^s dy, \quad \bar{\tau}(s) = -\mu_0 \int_0^{r_0} q(y)y^s dy,$$

виконаємо всі крайові умови з (1), окрім третьої та останньої умови на колові переміщення в областях контакту.

Підставимо колові переміщення $u_{\vartheta}|_{\vartheta=\pi}$ із (4) у третю та останню з умов (1), виконаємо заміни

$$s = -i\tau, \quad r = r_0 e^{-\xi}, \quad y = r_0 e^{-\eta}, \quad r_1 = r_0 e^a, \quad r_2 = r_0 e^b, \quad (7)$$

і, поклавши $q(r) = \frac{hp}{r} + q^*(r)$, де p – невідома стала, а $q^*(r) = o(r^{-1})$, $r \rightarrow \infty$, перейдемо до нової невідомої функції

$$\varphi(\eta) = \begin{cases} \frac{1}{2G} q(r_0 e^{-\eta}) e^{-\eta}, & 0 < \eta < \infty, \\ \frac{1}{2G} q^*(r_0 e^{-\eta}) e^{-\eta}, & -\infty < \eta < -a. \end{cases} \quad (8)$$

Отримаємо інтегральне рівняння

$$L(\xi) \equiv \int_0^{\infty} k_0(\xi - \eta) \varphi(\eta) d\eta + \int_{-\infty}^{-a} k_1(\xi - \eta) \varphi(\eta) d\eta = f(\xi),$$

$$0 < \xi < \infty, \quad -\infty < \xi < -a, \quad (9)$$

де

$$k_j(\xi - \eta) = \frac{1}{2\pi} \int_{-\infty}^{\infty} \mathcal{K}_j(\tau) e^{-i\tau(\xi - \eta)} d\tau, \quad \mathcal{K}_j(\tau) = \frac{\lambda_j(\tau)}{\tau \Delta(i\tau)}, \quad j = 0, 1,$$

$$\lambda_0(\tau) = D \operatorname{sh} \pi \tau \operatorname{ch} \pi(\tau + i\gamma), \quad \lambda_1(\tau) = (1 - \nu) \operatorname{sh} 2\pi \tau,$$

$$D = \sqrt{4(1 - \nu)^2 + (1 - 2\nu)^2 \mu_0^2}, \quad \gamma = \frac{1}{\pi} \operatorname{arctg} \frac{(1 - 2\nu)\mu_0}{2(1 - \nu)},$$

$$f(\xi) = \begin{cases} 0, & 0 < \xi < \infty \\ \frac{h}{r_0} - \frac{r_0}{2R} (e^b - e^{-\xi})^2 H(\xi + b), & -\infty < \xi < -a \end{cases} -$$

$$- \frac{\bar{p}}{2\pi i} \int_{-\infty + ic}^{\infty + ic} \frac{\mathcal{K}_1(\tau)}{\tau} e^{-i\tau(\xi + a)} d\tau, \quad \bar{p} = \frac{hp}{2Gr_0}.$$

Праву частину інтегрального рівняння (9) після перетворення інтеграла за теорією лишків подамо у вигляді

$$f(\xi) = \begin{cases} 0, & 0 < \xi < \infty \\ \frac{h}{r_0} - \frac{3 - 4\nu}{2(1 - \nu)} \pi \bar{p} - \frac{r_0}{2R} (e^b - e^{-\xi})^2 H(\xi + b), & -\infty < \xi < -a \end{cases} -$$

$$- \operatorname{sgn} \xi \cdot \bar{p} \sum_{k=1}^{\infty} \frac{i\lambda_1(is_k)}{s_k^2 \Delta'(s_k)} e^{-s_k |\xi + a|}, \quad (10)$$

де s_k – корені рівняння $\Delta(s) = 0$ із півплощини $\operatorname{Re} s > 0$: $s_{2k-1} = s_k^+$, $s_{2k} = s_k^-$, $s_k^{\pm} = k - \frac{1}{2} \pm i\theta$, $k = 1, 2, \dots$. Із умови $f(-\infty) = 0$, що еквівалентна асимптотичній рівності $u_3|_{g=\pi} \sim -h$, $r \rightarrow \infty$, яка, в свою чергу, впливає з останньої із крайових умов (1), знаходимо

$$p = \frac{4(1 - \nu) G}{3 - 4\nu \pi}. \quad (11)$$

3. Розв'язання інтегрального рівняння. Інтегральне рівняння (9) із застосуванням методу Вінера – Гопфа [5, 11] зведемо до нескінченної системи алгебричних рівнянь.

Продовжимо рівняння (9) на всю числову вісь, поклавши $\varphi(\xi) = 0$, коли $-a \leq \xi \leq 0$, і застосуємо до нього інтегральне перетворення Фур'є. Введемо

невідомі функції комплексної змінної

$$\begin{aligned}\Phi^+(z) &= \frac{1}{\sqrt{2\pi}} \int_0^\infty \varphi(\xi) e^{iz\xi} d\xi, & \Phi^-(z) &= \frac{1}{\sqrt{2\pi}} \int_{-\infty}^0 \varphi(\xi - a) e^{iz\xi} d\xi, \\ \Psi^+(z) &= \frac{1}{\sqrt{2\pi}} \int_0^a L(\xi - a) e^{iz\xi} d\xi, & \Psi^-(z) &= \frac{1}{\sqrt{2\pi}} \int_{-a}^0 L(\xi) e^{iz\xi} d\xi,\end{aligned}\quad (12)$$

аналітичні відповідно у півплощинах $\text{Im } z > c^+$ ($c^+ < 0$), $\text{Im } z < c^-$ ($c^- > 0$). Зокрема, функції $\Psi^+(z)$, $\Psi^-(z)$ є цілими. Після застосування теореми про згортку отримаємо систему функціональних рівнянь

$$\begin{aligned}\mathcal{K}_0(z)\Phi^+(z) + e^{-iza}\mathcal{K}_1(z)\Phi^-(z) - \Psi^-(z) &= F(z), \\ \Psi^+(z) = e^{iza}\Psi^-(z), & \quad c^+ < \text{Im } z < c^-, \end{aligned}\quad (13)$$

права частина якої має вигляд

$$\begin{aligned}F(z) &= F^+(z) + e^{-iza}F^-(z), \\ F^+(z) &= \frac{1}{\sqrt{2\pi}} \int_0^\infty f(\xi) e^{iz\xi} d\xi = -\frac{\bar{p}}{\sqrt{2\pi}} \sum_{k=1}^\infty \frac{i\lambda_1(is_k)}{s_k^2 \Delta'(s_k)(s_k - iz)} e^{-s_k a}, \\ F^-(z) &= \frac{1}{\sqrt{2\pi}} \int_{-\infty}^0 f(\xi - a) e^{iz\xi} d\xi = \frac{\bar{p}}{\sqrt{2\pi}} \sum_{k=1}^\infty \frac{i\lambda_1(is_k)}{s_k^2 \Delta'(s_k)(s_k + iz)} - \\ &\quad - \frac{1}{\sqrt{2\pi}} \frac{r_2^2}{2Rr_0} \left(\frac{1 - e^{iz(a-b)}}{iz} + 2 \frac{e^{a-b} - e^{iz(a-b)}}{1 - iz} - \right. \\ &\quad \left. - \frac{e^{2(a-b)} - e^{iz(a-b)}}{2 - iz} \right).\end{aligned}\quad (14)$$

Факторизуємо коефіцієнти $\mathcal{K}_0(z)$, $\mathcal{K}_1(z)$ системи (13):

$$\begin{aligned}\mathcal{K}_0(z) &= \mathcal{K}_0^+(z)\mathcal{K}_0^-(z), & \mathcal{K}_1(z) &= \mathcal{K}_1^+(z)\mathcal{K}_1^-(z), \\ \mathcal{K}_0^+(z) &= D \frac{\Gamma(s_1 - iz)\Gamma(s_2 - iz)}{\Gamma(1 - iz)\Gamma(1/2 - iz + \gamma)}, & \mathcal{K}_0^-(z) &= \frac{\Gamma(s_1 + iz)\Gamma(s_2 + iz)}{\Gamma(1 + iz)\Gamma(1/2 + iz - \gamma)}, \\ \mathcal{K}_1^+(z) &\equiv 2(1 - \nu)\mathcal{K}_1^-(-z), & \mathcal{K}_1^-(z) &= \frac{\Gamma(s_1 + iz)\Gamma(s_2 + iz)}{\Gamma(1 + iz)\Gamma(1/2 + iz)}.\end{aligned}\quad (15)$$

Функції $\mathcal{K}_0^+(z)$, $\mathcal{K}_1^+(z)$ є аналітичними і не приймають нульових значень у півплощині $\text{Im } z > c^+$, а функції $\mathcal{K}_0^-(z)$, $\mathcal{K}_1^-(z)$ – у півплощині $\text{Im } z < c^-$. Після цього систему функціональних рівнянь (13) запишемо так ($c^+ < \text{Im } z < c^-$):

$$\begin{aligned}\mathcal{K}_0^+(z)\Phi^+(z) + e^{-iza} \frac{\mathcal{K}_1^+(z)}{\mathcal{K}_0^-(z)} \Phi^-(z) - \frac{\Psi^-(z)}{\mathcal{K}_0^-(z)} &= \frac{F^+(z)}{\mathcal{K}_0^-(z)} + e^{-iza} \frac{F^-(z)}{\mathcal{K}_0^-(z)}, \\ \mathcal{K}_1^-(z)\Phi^-(z) + e^{iza} \frac{\mathcal{K}_0^-(z)}{\mathcal{K}_1^+(z)} \Phi^+(z) - \frac{\Psi^+(z)}{\mathcal{K}_1^+(z)} &= \frac{F^-(z)}{\mathcal{K}_1^+(z)} + e^{iza} \frac{F^+(z)}{\mathcal{K}_1^+(z)}.\end{aligned}\quad (16)$$

Другі доданки лівої та перші доданки правої частини кожного із рівнянь (16) подамо як різниці аналітичних у півплощинах $\text{Im } z > c^+$, $\text{Im } z < c^-$ функцій:

$$e^{-iza} \frac{\mathcal{K}_1(z)}{\mathcal{K}_0(z)} \Phi^-(z) = \chi_0^+(z) - \chi_0^-(z), \quad -e^{iza} \frac{\mathcal{K}_0(z)}{\mathcal{K}_1^+(z)} \Phi^+(z) = \chi_1^+(z) - \chi_1^-(z),$$

$$\frac{F^+(z)}{\mathcal{K}_0^-(z)} = f_0^+(z) - f_0^-(z), \quad \frac{F^-(z)}{\mathcal{K}_1^+(z)} = f_1^+(z) - f_1^-(z). \quad (17)$$

Ці функції визначимо, подавши їх інтегралами типу Коші вздовж дійсної осі. Розвинувши інтеграли у ряди за лишками підінтегральних функцій, знаходимо

$$\chi_0^+(z) = \sum_{k=1}^{\infty} \frac{i\lambda_1(is_k)\Phi^-(is_k)e^{-s_k a}}{s_k \Delta'(s_k) \mathcal{K}_0^-(is_k)(s_k - iz)},$$

$$\chi_1^-(z) = \sum_{k=1}^{\infty} \frac{i\lambda_0(is_k)\Phi^+(is_k)e^{-s_k a}}{s_k \Delta'(s_k) \mathcal{K}_1^+(is_k)(s_k + iz)},$$

$$f_0^+(z) = \frac{\bar{p}}{\sqrt{2\pi}} \sum_{k=1}^{\infty} \frac{\lambda_1(is_k)e^{-s_k a}}{is_k^2 \Delta'(s_k) \mathcal{K}_0^-(is_k)(s_k - iz)},$$

$$f_1^-(z) = -\frac{1}{\sqrt{2\pi}} \frac{r_2^2}{Rr_0} \frac{e^{iz(a-b)}}{iz(1-iz)(2-iz)\mathcal{K}_1^+(z)} + \tilde{f}_1^-(z),$$

$$\tilde{f}_1^-(z) = \frac{\bar{p}}{\sqrt{2\pi}} \frac{\mathcal{K}_1^-(z) - \mathcal{K}_1^-(0)}{iz} + \frac{1}{\sqrt{2\pi}} \frac{r_2^2}{2Rr_0} \left(\frac{1}{i\mathcal{K}_1^+(0)z} + \sum_{m=1}^2 \frac{\gamma_m}{m-iz} \left(d_m + \frac{1}{m-iz} \right) - \sum_{\substack{k=1, \\ k \neq 2,4}}^{\infty} \frac{2\Delta(\delta_k)\mathcal{K}_1^-(i\delta_k)e^{\delta_k(a-b)}}{(\delta_k-1)(\delta_k-2)\lambda_1'(i\delta_k)(\delta_k-iz)} \right), \quad (18)$$

де

$$\gamma_1 = -\frac{4|s_1|^2}{\sqrt{\pi(3-4\nu)}} e^{a-b}, \quad \gamma_2 = -\frac{1}{3}|s_3|^2 e^{a-b}\gamma_1, \quad \psi(z) = \frac{\Gamma'(z)}{\Gamma(z)}.$$

$$d_m = b - a + 2m - 3 + 2\operatorname{Re} \psi(m + s_1) - \psi(m + 1) - \psi(m + 1/2), \quad m = 1, 2,$$

Тут δ_k – корені рівняння $\lambda_1(is) = 0$ із півплощини $\operatorname{Re} s > 0$: $\delta_k = \frac{k}{2}$, $k = 1, 2, \dots$

Таким чином, систему функціональних рівнянь (13) зводимо до вигляду

$$\mathcal{K}_0^+(z)\Phi^+(z) + \chi_0^+(z) - f_0^+(z) = \frac{\Psi^-(z)}{\mathcal{K}_0^-(z)} + \chi_0^-(z) - f_0^-(z) + e^{-iza} \frac{F^-(z)}{\mathcal{K}_0^-(z)},$$

$$\mathcal{K}_1^-(z)\Phi^-(z) + \chi_1^-(z) + f_1^-(z) = \frac{\Psi^+(z)}{\mathcal{K}_1^+(z)} + \chi_1^+(z) + f_1^+(z) + e^{iza} \frac{F^+(z)}{\mathcal{K}_1^+(z)},$$

$$c^+ < \operatorname{Im} z < c^-. \quad (19)$$

Для кожного із рівнянь (19) ліва і права частини аналітично продовжують одна одну на всю комплексну площину і є довільною цілою функцією. Із асимптотичних оцінок

$$\mathcal{K}_0^+(z) = O(z^{-1/2-\gamma}), \quad \mathcal{K}_1^-(z) = O(z^{-1/2}), \quad \Phi^\pm(z) = o(1),$$

$$\{\chi_0^+(z), \chi_1^-(z), f_0^+(z), f_1^-(z)\} = O(z^{-1}), \quad |z| \rightarrow \infty, \quad (20)$$

випливає, що обидві частини кожного із рівнянь (19) тотожно дорівнюють нулеві. Звідси знаходимо

$$\begin{aligned} \Phi^+(z) &= \frac{f_0^+(z) - \chi_0^+(z)}{\mathcal{K}_0^+(z)}, & \Psi^-(z) &= \mathcal{K}_0^-(z)[f_0^-(z) - \chi_0^-(z)] - e^{-iza} F^-(z), \\ \Phi^-(z) &= -\frac{f_1^-(z) + \chi_1^-(z)}{\mathcal{K}_1^-(z)}, & \Psi^+(z) &= -\mathcal{K}_1^+(z)[f_1^+(z) + \chi_1^+(z)] - e^{iza} F^+(z). \end{aligned} \quad (21)$$

Крім того, з умови обмеженості контактних напружень у точках $r = r_0$, $r = r_1$, $\vartheta = \pi$, що еквівалентно оцінкам $\Phi^\pm(z) = o(z^{-1})$, $|z| \rightarrow \infty$, маємо дві додаткові умови:

$$\lim_{|z| \rightarrow \infty} z[f_0^+(z) - \chi_0^+(z)] = 0, \quad \lim_{|z| \rightarrow \infty} z[f_1^-(z) + \chi_1^-(z)] = 0. \quad (22)$$

Рівності (21) ще не визначають шукані функції, а лише виражають їх, з огляду на вирази для $\chi_0^+(z)$, $\chi_1^-(z)$ із (18), через невідомі значення цих функцій у нескінченній множині точок z . Для знаходження останніх візьмемо у першій із рівностей (21) $z = is_n$, а у четвертій – $z = -is_n$, $n = 1, 2, \dots$. Відносно невідомих

$$z_k^+ = \Phi^+(is_k), \quad z_k^- = \Phi^-(-is_k) + \frac{\bar{p}}{\sqrt{2\pi}} \frac{1}{s_k}, \quad k = 1, 2, \dots, \quad (23)$$

отримаємо нескінченну систему алгебричних рівнянь

$$z_n^+ + \beta_n^+ \sum_{k=1}^{\infty} \frac{\alpha_k^- z_k^-}{s_k + s_n} = 0, \quad z_n^- + \beta_n^- \sum_{k=1}^{\infty} \frac{\alpha_k^+ z_k^+}{s_k + s_n} = g_n, \quad n = 1, 2, \dots, \quad (24)$$

з такими коефіцієнтами:

$$\begin{aligned} \alpha_k^+ &= \frac{i\lambda_0(is_k)e^{-s_k a}}{s_k \Delta'(s_k) \mathcal{K}_1^+(is_k)}, & \alpha_k^- &= \frac{i\lambda_1(is_k)e^{-s_k a}}{s_k \Delta'(s_k) \mathcal{K}_0^-(-is_k)}, & k &= 1, 2, \dots, \\ \beta_n^+ &= \frac{1}{\mathcal{K}_0^+(is_n)}, & \beta_n^- &= \frac{1}{\mathcal{K}_1^-(-is_n)}, \\ g_n &= \beta_n^- \left(\frac{\bar{p}}{\sqrt{2\pi}} \frac{\mathcal{K}_1^-(0)}{s_n} - \tilde{f}_1^-(-is_n) \right), & n &= 1, 2, \dots \end{aligned} \quad (25)$$

Додаткові умови (22) набувають вигляду

$$\sum_{k=1}^{\infty} \alpha_k^- z_k^- = 0, \quad \sum_{k=1}^{\infty} \alpha_k^+ z_k^+ = \frac{\bar{p}}{\sqrt{2\pi}} \mathcal{K}_1^-(0) - \lim_{|z| \rightarrow \infty} iz \tilde{f}_1^-(z) \quad (26)$$

і слугують для знаходження невідомих параметрів a і b , які, в свою чергу, визначають відносні розміри $\frac{r_0}{r_2} = e^{-b}$, $\frac{r_1}{r_2} = e^{a-b}$.

Система рівнянь (24), (26) з експоненціально спадними за k коефіцієнтами є регулярною типу Пуанкаре – Коха і тому може бути ефективно розв'язана методами редукції і послідовних наближень. Числовий аналіз цієї системи рівнянь показує, що відносна довжина $\bar{r}_0 = \frac{r_0}{r_2}$ області контак-

ту берегів тріщини біля її вершини є вкрай малою, меншою ніж 10^{-6} . Тому отримані вище співвідношення з високою точністю (порядку \bar{r}_0) можуть бути асимптотично спрощені. Нехтуючи множником e^{-a} порівняно з 1 у формулах (25), отримуємо $\alpha_k^\pm = 0$, $k = 1, 2, \dots$. Тоді з рівнянь (24) визначимо

$$z_n^+ = 0, \quad z_n^- = g_n, \quad n = 1, 2, \dots \quad (27)$$

Із першої умови (26) з урахуванням (27) отримуємо рівняння

$$\operatorname{Re} \frac{i\lambda_1(is_1)g_1 e^{-s_1 a}}{s_1 \Delta'(s_1) \mathcal{K}_0^-(is_1)} = 0,$$

яке перетворимо до вигляду

$$\cos\left(\theta(a + 2 \ln 2) - \arg \frac{\Gamma(1 - \gamma + i\theta)g_1}{\Gamma(1 + i\theta)}\right) = 0. \quad (28)$$

Вибравши корінь $\frac{\pi}{2}$ цього рівняння, знаходимо розмір області контакту берегів тріщини біля її вершини:

$$r_0 = r_2 e^{-b}, \quad b = \frac{\pi}{2\theta} + \frac{1}{\theta} \arg\left(\frac{\Gamma(1 - \gamma + i\theta)}{\Gamma(1 + i\theta)} g_1 e^{i\theta(b - a - 2 \ln 2)}\right). \quad (29)$$

Різницю параметрів $a - b$ визначимо нижче. Інші корені рівняння (28) виключаємо із розгляду, оскільки вони не мають фізичного змісту: від'ємні корені відповідають розмірам області контакту, які перевищують відстань r_2 , а додатні корені, крім $\frac{\pi}{2}$, відповідають взаємному перекриттю берегів тріщини поза областю контакту [17].

Із другої умови (26) отримуємо трансцендентне рівняння

$$\begin{aligned} \bar{p} \mathcal{K}_1^-(0) - \frac{r_2^2}{2Rr_0} \left(\frac{1}{\mathcal{K}_1^+(0)} - \sum_{m=1}^2 \gamma_m d_m e^{m(a-b)} + \right. \\ \left. + \sum_{\substack{k=1, \\ k \neq 2,4}}^{\infty} \frac{2\Delta(\delta_k) \mathcal{K}_1^-(i\delta_k) e^{\delta_k(a-b)}}{(\delta_k - 1)(\delta_k - 2)\lambda_1'(i\delta_k)} \right) = 0 \end{aligned} \quad (30)$$

для визначення відносної відстані $\bar{r}_1 = \frac{r_1}{r_2} = e^{a-b}$ від вершини тріщини до точки входження у контакт берега тріщини із клином.

У випадку прямокутного клина ($R = 0$) маємо $r_1 = r_2$, $a = b$, а також

$$F^-(z) = \frac{\bar{p}}{\sqrt{2\pi}} \sum_{k=1}^{\infty} \frac{i\lambda_1(is_k)}{s_k^2 \Delta'(s_k)(s_k + iz)}, \quad f_1^-(z) = \tilde{f}_1^-(z) = \frac{\bar{p}}{\sqrt{2\pi}} \frac{\mathcal{K}_1^-(z) - \mathcal{K}_1^-(0)}{iz},$$

$$g_1 = \bar{p} \mathcal{K}_1^-(0) \cdot 2^{-1/2-2i\theta}, \quad (31)$$

і тоді для розміру області контакту берегів тріщини біля її вершини замість (29) маємо

$$r_0 = r_2 e^{-b}, \quad b = \frac{\pi}{2\theta} - 4 \ln 2 + \frac{1}{\theta} \arg \frac{\Gamma(1 - \gamma + i\theta)}{\Gamma(1 + i\theta)}. \quad (32)$$

Цей розмір є у 4 рази більшим, ніж у задачі про розкриття межевої напів-нескінченної тріщини нормальною зосередженою силою, прикладеною до берега тріщини на відстані r_2 від її вершини [8], і у 2 рази більший, ніж в аналогічній задачі для скінченної тріщини довжини $2r_2$ [6]. За відсутності

тертя ($\mu_0 = 0$, $\gamma = 0$) цей розмір становить

$$r_0 = r_0^0 = 16e^{-\pi/(2\theta)}r_2. \quad (33)$$

З огляду на (32), (33) у загальному випадку заокругленого клина ($R \neq 0$) розмір r_0 області контакту подамо у вигляді

$$r_0 = \rho_R \rho_\mu r_0^0, \quad \rho_R = \frac{r_0}{r_0|_{R=0}} = 4 \exp\left(a - b - \frac{1}{\theta} \arg g_1\right),$$

$$\rho_\mu = \frac{r_0}{r_0|_{\mu_0=0}} = \exp\left(-\frac{1}{\theta} \arg \frac{\Gamma(1 - \gamma + i\theta)}{\Gamma(1 + i\theta)}\right). \quad (34)$$

Тут коефіцієнти ρ_R , ρ_μ характеризують вплив відповідно радіуса кривини R заокругленого краю клина у точці $r = r_2$ і коефіцієнта тертя μ_0 на розмір r_0 порівняно з його величиною r_0^0 із (33), коли відсутні як заокруглення клина ($R = 0$), так і тертя ($\mu_0 = 0$).

4. Напруження та переміщення на межі півплощини. З огляду на заміни (5), (7), (8), контактні напруження між берегами тріщини та між клином і одним із берегів тріщини виражаються через розв'язок інтегрального рівняння (9):

$$\sigma_\vartheta|_{\vartheta=\pi} = -2Ge^\xi \varphi(\xi) - \begin{cases} 0, & 0 < r < r_0, & 0 < \xi < \infty, \\ \frac{hr}{r}, & r_1 < r < \infty, & -\infty < \xi < -a. \end{cases} \quad (35)$$

Застосуванням оберненого перетворення Фур'є до перших двох рівностей із (12) маємо

$$\varphi(\xi) = \begin{cases} \frac{1}{\sqrt{2\pi}} \int_{-\infty}^{\infty} \Phi^+(\tau) e^{-i\tau\xi} d\tau, & 0 < \xi < \infty, \\ \frac{1}{\sqrt{2\pi}} \int_{-\infty}^{\infty} \Phi^-(\tau) e^{-i\tau(\xi+a)} d\tau, & -\infty < \xi < -a. \end{cases} \quad (36)$$

Підставивши у (36) знайдені функції $\Phi^+(\tau)$, $\Phi^-(\tau)$ із (21) і перетворивши інтеграли у ряди за теорією лишків, отримаємо контактні напруження

$$\sigma_\vartheta|_{\vartheta=\pi} = A \left[\frac{1}{\Gamma(3/2 - \gamma)} {}_2F_1\left(s_1, \bar{s}_1; \frac{3}{2} - \gamma; \frac{r}{r_0}\right) - \frac{1}{\Gamma(1/2 + \gamma)|\Gamma(1 - \gamma + i\theta)|^2} \times \right. \\ \left. \times \frac{\pi}{\operatorname{ch} \pi\theta} {}_2F_1\left(\gamma + i\theta, \gamma - i\theta; \frac{1}{2} + \gamma; \frac{r}{r_0}\right) \left(\frac{r}{r_0}\right)^{-1/2+\gamma} \right],$$

$$0 < r < r_0,$$

$$A = \frac{2\sqrt{2}(1 - \nu)}{\sqrt{3 - 4\nu}} \pi G \theta e^{-a/2} \left| \frac{\Gamma(1 - \gamma + i\theta)}{\Gamma(1 + i\theta)} g_1 \right|,$$

$$\frac{1}{2G} \sigma_\vartheta|_{\vartheta=\pi} = -\bar{p} \frac{r_0}{r} + \frac{2(1 - \nu)}{3 - 4\nu} \frac{r_2^2}{\pi R r} \left\{ \frac{1}{2} - \frac{r}{r_2} + \frac{r}{r_2} \left(1 - \frac{r}{r_2}\right) \ln \left| \frac{r_2}{r} - 1 \right| - \right. \\ \left. - \left(\frac{1 - 2\nu}{2(1 - \nu)} \right)^2 \left[2\sqrt{\frac{r}{r_2}} \left(\frac{2}{3} - \frac{r}{r_2} \right) + \frac{r}{r_2} \left(1 - \frac{r}{r_2}\right) \ln \left| \frac{\sqrt{r_2} - \sqrt{r}}{\sqrt{r_2} + \sqrt{r}} \right| \right] \right\} +$$

$$+ \frac{1}{\sqrt{2\pi}} \frac{1}{1-\nu} \frac{r_0}{r} \sum_{k=1}^{\infty} (-1)^k \delta_k \Delta(\delta_k) \mathcal{K}_1^+(i\delta_k) \tilde{f}_1^-(i\delta_k) \left(\frac{r_1}{r}\right)^{\delta_k},$$

$$r_1 < r < \infty. \quad (37)$$

де ${}_2F_1(a_1, a_2; a_3; z)$ – гіпергеометрична функція Гаусса. Як випливає із першої формули (37), контактні напруження необмежені в околі вершини тріщини і є пропорційними до величини $r^{-1/2+\gamma}$. Разом з тим, розподіл цих напружень з точністю до сталого множника збігається з відповідним розподілом для міжфазної напівнескінченної тріщини, до берегів якої прикладено нормальні зосереджені сили [8].

За відсутності тертя ($\mu_0 = 0$, $\gamma = 0$) гіпергеометричні функції у першій із рівностей (37) виражаються через елементарні функції [2], і ця рівність спрощується до такої:

$$\sigma_{\vartheta}|_{\vartheta=\pi} = -\frac{A}{2(1-\nu)\theta} \sqrt{\frac{(3-4\nu)r_0}{\pi r}} \operatorname{sh}\left(2\theta \arccos \sqrt{\frac{r}{r_0}}\right), \quad 0 < r < r_0. \quad (38)$$

Знайдемо контактні напруження між клином і берегом тріщини $r_1 < r < \infty$, $\vartheta = \pi$ у випадку прямокутного клина ($R = 0$):

$$\begin{aligned} \varphi(\xi) &= \frac{\bar{p}\mathcal{K}_1^-(0)}{2\pi(1-\nu)} \sum_{k=1}^{\infty} (-1)^k \Delta(\delta_k) \mathcal{K}_1^+(i\delta_k) e^{\delta_k(\xi+a)} = \\ &= \frac{2\bar{p}\mathcal{K}_1^-(0)}{\sqrt{\pi(3-4\nu)}} \left\{ (1-\nu) \left[{}_2F_1\left(s_1, \bar{s}_1; \frac{1}{2}; e^{\xi+a}\right) - 1 \right] - \right. \\ &\quad \left. - (1-2\nu)\theta {}_2F_1\left(1+i\theta, 1-i\theta; \frac{3}{2}; e^{\xi+a}\right) \right\}, \quad -\infty < \xi < -a. \quad (39) \end{aligned}$$

Виразимо гіпергеометричні функції із (39) через елементарні [2] і підставимо після такого перетворення функцію $\varphi(\xi)$ у рівність (35):

$$\sigma_{\vartheta}|_{\vartheta=\pi} = -\frac{2Gh}{\pi\sqrt{(3-4\nu)r(r-r_1)}} \operatorname{ch}\left(2\theta \arccos \sqrt{\frac{r_1}{r}}\right), \quad r_1 < r < \infty. \quad (40)$$

Напруження на лінії продовження тріщини на підставі перших двох рівностей із (4) запишемо у вигляді комплексної комбінації:

$$(\sigma_{\vartheta} + i\tau_{r\vartheta})|_{\vartheta=0} = -\frac{2(1-\nu)}{\sqrt{3-4\nu}} \frac{1}{2\pi i} \int_{c-i\infty}^{c+i\infty} [\bar{\sigma}_1(s) + i\bar{\tau}_1(s)] \frac{r^{-s-1}}{\cos \pi(s+i\theta)} ds \quad (41)$$

та виразимо їх через розв'язок (21) системи функціональних рівнянь (13):

$$\begin{aligned} \frac{1}{2G} (\sigma_{\vartheta} + i\tau_{r\vartheta})|_{\vartheta=0} &= \frac{\sqrt{2(1-\nu)}}{\sqrt{\pi(3-4\nu)}} e^{\xi} \int_{-\infty+ic}^{\infty+ic} \left\{ (1+i\mu_0)\Phi^+(\tau) + \right. \\ &\quad \left. + \left[\frac{\bar{p}}{\sqrt{2\pi}} \frac{1}{i\tau} + \Phi^-(\tau) \right] e^{-i\tau a} \right\} \frac{e^{-i\tau\xi}}{\operatorname{ch} \pi(\tau-\theta)}. \quad (42) \end{aligned}$$

Перетворивши інтеграл із (42) за теорією лишків, зокрема, в околі вершини тріщини отримуємо

$$\begin{aligned} \sigma_{\vartheta}|_{\vartheta=0} &= \frac{A}{\Gamma(3/2-\gamma)} {}_2F_1\left(s_1, \bar{s}_1; \frac{3}{2}-\gamma; -\frac{r}{r_0}\right), \\ \tau_{r\vartheta}|_{\vartheta=0} &= \mu_0 \sigma_{\vartheta}|_{\vartheta=0} - \frac{A\Gamma(1/2-\gamma)}{|\Gamma(1-\gamma+i\theta)|^2 \operatorname{sh} \pi\theta} \times \end{aligned}$$

$$\times {}_2F_1\left(\gamma + i\theta, \gamma - i\theta; \frac{1}{2} + \gamma; -\frac{r}{r_0}\right)\left(\frac{r}{r_0}\right)^{-1/2+\gamma}, \quad 0 < r < r_0, \quad (43)$$

та знаходимо відповідну асимптотичну поведінку напружень:

$$\begin{aligned} \sigma_{\vartheta}|_{\vartheta=0} &\sim \frac{A}{\Gamma(3/2 - \gamma)}, \\ \tau_{r\vartheta}|_{\vartheta=0} &\sim -\frac{A\Gamma(1/2 - \gamma)}{|\Gamma(1 - \gamma + i\theta)|^2 \operatorname{sh} \pi\theta} \left(\frac{r}{r_0}\right)^{-1/2+\gamma}, \quad r \rightarrow 0. \end{aligned} \quad (44)$$

На продовженні тріщини в околі її вершини нормальні напруження є скінченними, а дотичні напруження є необмеженими з характерною для моделі Комніоу фрикційного контакту берегів міжфазної тріщини особливістю порядку $1/2 - \gamma$ [9, 20].

Із другої формули (44) визначаємо коефіцієнт інтенсивності напружень

$$K_{II} = -\sqrt{2\pi r_2 r_0} \lim_{r \rightarrow 0} \left(\frac{r}{r_0}\right)^{1/2-\gamma} \tau_{r\vartheta}|_{\vartheta=0} = \frac{A\sqrt{2\pi r_2 r_0} \Gamma(1/2 - \gamma)}{|\Gamma(1 - \gamma + i\theta)|^2 \operatorname{sh} \pi\theta}. \quad (45)$$

Розподіли напружень і переміщень всередині півплощини поблизу вершини тріщини визначаються через коефіцієнт K_{II} за відомими формулами [7, 20].

У випадку прямокутного клина ($R = 0$) коефіцієнт

$$K_{II} = \sqrt{2(3 - 4\nu)} \frac{\pi\theta\Gamma(1/2 - \gamma) \operatorname{cth} \pi\theta}{|\Gamma(1 + i\theta)\Gamma(1 - \gamma + i\theta)|} Gh \quad (46)$$

є таким самим, як і у задачі про розкриття межової напівнескінченної тріщини нормальною силою $P = \sqrt{3 - 4\nu} Gh$ [8]. У цьому випадку за відсутності тертя маємо

$$K_{II} = K_{II}^0 = 2\sqrt{2\pi}(1 - \nu)Gh. \quad (47)$$

Коефіцієнт K_{II} із (45) з огляду на (46), (47) подамо у вигляді

$$\begin{aligned} K_{II} &= k_R k_\mu K_{II}^0, \\ k_R &= \frac{K_{II}}{K_{II}|_{R=0}} = \left| 1 - \frac{\sqrt{2\pi}}{\bar{p}} \frac{s_1}{\mathcal{K}_1^-(0)} \tilde{f}_1^-(-is_1) \right| \sqrt{\frac{r_2}{r_1}}, \\ k_\mu &= \frac{K_{II}}{K_{II}|_{\mu_0=0}} = \frac{\Gamma(1/2 - \gamma)}{\sqrt{\pi}} \left| \frac{\Gamma(1 + i\theta)}{\Gamma(1 - \gamma + i\theta)} \right|. \end{aligned} \quad (48)$$

Для перевірки умови (2) знайдемо радіальні переміщення в області контакту берегів тріщини. Аналогічно до формул (43) отримуємо

$$\begin{aligned} u_r|_{\vartheta=\pi} &= \sqrt{2(1 + \mu_0^2)r_0 r_1} \frac{\pi\theta(1 - \nu) \sin \pi\gamma}{\Gamma(3/2 + \gamma)\mu_0 \operatorname{sh} \pi\theta} \left| \frac{\Gamma(\gamma + i\theta)}{\Gamma(1 + i\theta)} g_1 \right| \times \\ &\quad \times {}_2F_1\left(\gamma + i\theta, \gamma - i\theta; \frac{3}{2} + \gamma; \frac{r}{r_0}\right)\left(\frac{r}{r_0}\right)^{1/2+\gamma}, \quad 0 < r \leq r_0. \end{aligned} \quad (49)$$

Гіпергеометрична функція із рівності (49) за заданих значень своїх параметрів і аргументу приймає дійсні додатні значення на проміжку $0 < r \leq r_0$. Отже, умова (2) виконується, і припущення щодо напрямку руху граничних точок півплощини на проміжку $0 < r \leq r_0$ підтверджується.

5. Розклинювання однорідної площини. Розглянемо простий аналог розглядуваної задачі. Жорсткий клин розклинює пружну площину вздовж напівнескінченної тріщини $-\infty < x < \ell$, $y = \pm 0$, притискаючись своїми

гранями до берегів тріщини на проміжку $-\infty < x \leq -\ell$ (рис. 2). Клин шири-
ни $2h$ є симетричним відносно осі Ox і його верхня половина така сама, як
і на рис. 1, тобто клин задано нерів-
ностями $|y| \leq h$, $-\infty < x \leq -\ell_1$ і $|y| \leq$

$$\leq h - \frac{(x + \ell_1)^2}{2R}, \quad -\ell_1 < x \leq -\ell_0, \quad \text{де}$$

$$\ell_0 = \ell_1 - \sqrt{2Rh}. \quad \text{При цьому } \ell = \frac{r_1}{2},$$

$$\ell_1 = r_2 - \frac{r_1}{2}. \quad \text{На проміжку } -\ell < x < \ell$$

тріщина розкрита. Контакт берегів в
околі вершини тріщини відсутній.

Відстань ℓ_1 від вершини тріщини до незрізаної частини клина вважаємо
відомою, а півдовжину ℓ розкритої частини тріщини потрібно визначити.

Цю задачу зведенням до характеристичного сингулярного інтегрально-
го рівняння розв'язано в [10]. Контактні напруження разом із нормальними
напруженнями на продовженні тріщини подано таким одним виразом:

$$\sigma_y|_{y=\pi} = -\frac{G}{(1-\nu)\pi R} \left[\left(\sqrt{\ell_1^2 - \ell^2} + (x + \ell_1 - \ell) \ln \frac{\ell_1 - \sqrt{\ell_1^2 - \ell^2}}{\ell} \right) \sqrt{\frac{x + \ell}{x - \ell}} - \right. \\ \left. - (\ell_1 + x) \ln \frac{2\ell|x + \ell_1|}{(\sqrt{(\ell_1 + \ell)|x + \ell|} + \sqrt{(\ell_1 - \ell)|x - \ell|})^2} \right], \quad |x| > \ell. \quad (50)$$

У випадку прямокутного клина ($R = 0$, $\ell_1 = \ell$) маємо

$$\sigma_y|_{y=\pi} = \frac{Gh}{(1-\nu)\pi} \frac{\text{sgn } x}{\sqrt{x^2 - \ell^2}}, \quad |x| > \ell. \quad (51)$$

Знайдено також коефіцієнт інтенсивності напружень

$$K_I = \sqrt{2\pi(\ell + \ell_1)} \lim_{x \rightarrow \ell+0} \sqrt{x - \ell} \cdot \sigma_y|_{y=0} = k_R K_I|_{R=0},$$

$$k_R = -\frac{\sqrt{2\ell(\ell + \ell_1)}}{Rh} \left(\sqrt{\ell_1^2 - \ell^2} + \ell_1 \ln \frac{\ell_1 - \sqrt{\ell_1^2 - \ell^2}}{\ell} \right),$$

$$K_I|_{R=0} = \sqrt{\frac{2}{\pi}} \frac{Gh}{1-\nu}, \quad (52)$$

та отримано трансцендентне рівняння

$$\left(\ell - \frac{\ell_1}{2} \right) \sqrt{\ell_1^2 - \ell^2} + \ell \left(\ell_1 - \frac{\ell}{2} \right) \ln \frac{\ell_1 - \sqrt{\ell_1^2 - \ell^2}}{\ell} = -hR \quad (53)$$

для визначення невідомого розміру ℓ .

Відмітимо, що коефіцієнт інтенсивності напружень $K_I|_{R=0}$ із (52) для
прямокутного клина у $2\pi(1-\nu)^2$ разів (для $\nu = 0.3$ приблизно у 3.08) мен-
ший від відповідного коефіцієнта $K_{II}^0 = K_{II}|_{R=0, \mu_0=0}$ із (47) за відсутності
тертя. Отже, інтенсивність розривних напружень при розклинюванні одно-
рідної площини приблизно втричі менша від інтенсивності зсувних напру-
жень при межовому розклинюванні півплощини. Асимптотика контактного
тиску на краю прямокутного клина у $\frac{2(1-\nu)}{\sqrt{3-4\nu}}$ разів (для $\nu = 0.3$ приблизно

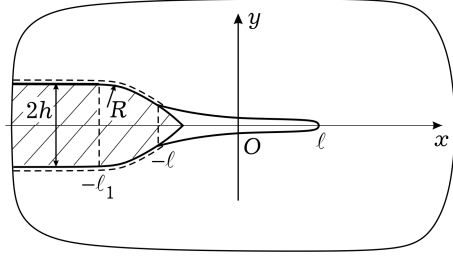


Рис. 2

у 1.04), а на нескінченності (як для прямокутного, так і для зрізаного клина) у $\frac{4(1-\nu)^2}{3-4\nu}$ разів (для $\nu = 0.3$ приблизно у 1.09) менша, ніж у розглянутій вище задачі згідно з формулою (38).

6. Результати обчислень. Обчислення проведено для коефіцієнта Пуассона $\nu = 0.3$ і різних значень безрозмірного параметра кривини $\bar{R} = hR/r_2^2$ заокругленого краю клина та коефіцієнта тертя μ_0 . Відносний розмір $\bar{r}_0^0 = r_0^0/r_2$ області контакту берегів тріщини біля її вершини у випадку гладкого контакту для прямокутного клина згідно з (33) дорівнює $8.16 \cdot 10^{-7}$. Значення коефіцієнтів ρ_R , ρ_μ впливу заокруглення краю клина та тертя із (34) на цей розмір, які подано у табл. 1, табл. 2, показують, що збільшення заокруглення помітно зменшує відносний розмір $\bar{r}_0 = r_0/r_2$ (це можна пояснити зменшенням відстані r_1 від вершини тріщини до краю півнескінченної області контакту), а наявність тертя є майже пропорційним до коефіцієнта тертя і дещо збільшує розмір \bar{r}_0 . Надзвичайна мализна розміру r_0 підтверджує можливість асимптотичного спрощення розв'язку, яке було здійснено при розв'язанні задачі. Точність такого наближення є доволі високою – порядку 10^{-6} . У таблицях також подано коефіцієнти k_R , k_μ впливу заокруглення та тертя (із (48)) на коефіцієнт інтенсивності напружень K_{II} відносно його значення K_{II}^0 із (47) у випадку $R = 0$, $\mu_0 = 0$. Коефіцієнт K_{II} збільшується зі зростанням як радіуса заокруглення (через збільшення розкриття тріщини), так і коефіцієнта тертя (через зростання жорсткості системи). Крім того, у табл. 1 для різних значень параметра \bar{R} подано відносну відстань $\bar{r}_1 = r_1/r_2$ від вершини тріщини до області контакту між клином і півплощиною. У дужках наведено відповідні значення для задачі про розклинювання однорідної площини із п. 5. Дещо неочікуваним є те, що розбіжність між результатами обчислень у цих двох задачах, постановки яких наведено у п. 1 і п. 5, виявилась зовсім невеликою.

Таблиця 1

\bar{R}	0.01	0.05	0.1	0.2	0.3	0.4	0.5
ρ_R	0.976	0.928	0.883	0.805	0.731	0.654	0.563
k_R	1.012 (1.011)	1.038 (1.037)	1.064 (1.062)	1.113 (1.109)	1.166 (1.159)	1.229 (1.219)	1.315 (1.294)
\bar{r}_1	0.960 (0.962)	0.881 (0.884)	0.807 (0.812)	0.680 (0.690)	0.560 (0.574)	0.436 (0.456)	0.288 (0.320)

Таблиця 2

μ_0	0.1	0.2	0.25	0.3	0.4	0.5
ρ_μ	1.015	1.031	1.038	1.047	1.063	1.079
k_μ	1.013	1.026	1.033	1.040	1.054	1.069

На рис. 3 зображено розподіли безрозмірних контактних напружень $\bar{\sigma} = \frac{r_2}{Gh} \sigma_9|_{\vartheta=\pi}$ між клином і берегом тріщини для різних значень параметра

кривини $\bar{R} = 0, 0.05, 0.2, 0.5$ (криві 1–4). Суцільні криві відповідають розклинюванню півплощини вздовж межевої тріщини, штрихові – розклинюванню однорідної площини. Як і для даних, наведених у табл. 1, значення контактних напружень у цих двох задачах мало відрізняються. На краю прямокутного клина ($\bar{R} = 0$) напруження необмежені. Для заокругленого клина вони стають нульовими на краю $r = r_1$ області контакту та досягають мінімуму всередині заокругленої частини клина. Зі зменшенням параметра \bar{R} значення $\bar{\sigma}$ у точці мінімуму необмежено зменшується, що є характерним для контакту пружного тіла зі штампом із заокругленим краєм [3, 21].

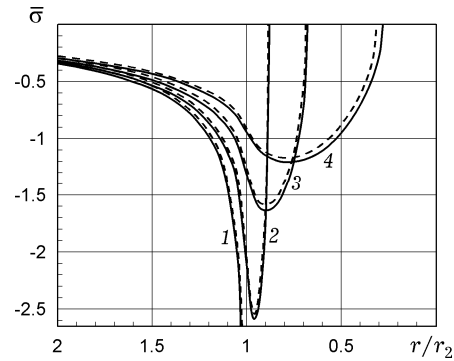


Рис. 3

1. Баренблатт Г. И., Черепанов Г. П. О расклинивании хрупких тел // Прикл. математика и механика. – 1960. – **24**, № 4. – С. 667–682.
2. Бейтмен Г., Эрдейи А. Высшие трансцендентные функции: В 3 т. – Т. 1. – Гипергеометрическая функция. Функции Лежандра. – Москва: Наука, 1965. – 294 с.
То же: Bateman H. Higher transcendental functions. – Vol. 1. – New York etc.: McGraw-Hill, 1953. – xxvi+302 p.
3. Клімчук Т. В., Острик В. І. Гладкий контакт напівнескінченного штампа із заокругленим краєм і пружної смуги // Мат. методи та фіз.-мех. поля. – 2016. – **59**, № 2. – С. 132–141.
Те саме: Klimchuk T. V., Ostryk V. I. Smooth contact of a semiinfinite punch with rounded edge and an elastic strip // J. Math. Sci. – 2018. – **231**, No. 5. – P. 650–664. – <https://doi.org/10.1007/s10958-018-3842-9>.
4. Маркузон И. А. О расклинивании хрупкого тела клином конечной длины // Прикл. математика и механика. – 1961. – **25**, № 2. – С. 356–361.
5. Нобл Б. Применение метода Винера – Хопфа для решения дифференциальных уравнений в частных производных. – Москва: Изд-во иностр. лит., 1962. – 279 с.
Те саме: Noble B. Methods based on the Wiener – Hopf technique for the solution of partial differential equations. – New York: Chelsea, 1988. – 246 p.
6. Острик В. И., Улитко А. Ф. Метод Винера – Хопфа в контактных задачах теории упругости. – Киев: Наук. думка, 2006. – 328 с.
7. Острик В. І. Асимптотичні розподіли напружень і переміщень в околі краю області контакту // Мат. методи та фіз.-мех. поля. – 2016. – **59**, № 4. – С. 58–71.
Те саме: Ostryk V. I. Asymptotic distributions of stresses and displacements near the edge of a contact zone // J. Math. Sci. – 2019. – **238**, No. 1. – P. 63–82. – <https://doi.org/10.1007/s10958-019-04218-9>.
8. Острик В. І. Контакт берегів міжфазної напівнескінченної тріщини // Мат. методи та фіз.-мех. поля. – 2020. – **63**, № 1. – С. 106–121.
9. Острик В. І. Контакт з тертям берегів міжфазної тріщини за розтягу та зсуву // Фіз.-хім. механіка матеріалів. – 2003. – **39**, № 2. – С. 58–65.
Те саме: Ostryk V. I. Friction contact of the edges of an interface crack under the conditions of tension and shear // Mater. Sci. – 2003. – **39**, No. 2. – P. 214–224. – <https://doi.org/10.1023/B:MASC.0000010271.69655.67>.
10. Острик В. І. Контактна механіка: Підруч. – Київ: ВПЦ «Київ. ун-т», 2015. – 560 с.
11. Острик В. І. Метод факторизації та його узагальнення у змішаних задачах теорії пружності. – Київ: ВПЦ «Київ. ун-т», 2018. – 480 с.
12. Острик В. І., Щокотова О. М. Ковзний контакт штампа з пружним клином // Фіз.-хім. механіка матеріалів. – 2011. – **47**, № 4. – С. 82–91.
Те саме: Ostryk V. I., Shchokotova O. M. Sliding contact of a punch with elastic wedge // Mater. Sci. – 2012. – **47**, No. 4. – P. 514–526. – <https://doi.org/10.1007/s11003-012-9423-z>.
13. Саврук М. П. Коэффициенты интенсивности напряжений в телах с трещинами.

- Киев: Наук. думка, 1988. – 620 с. – Механика разрушения и прочность материалов: Справ. пособие в 4 т. / Под общ. ред. В. В. Панасюка – Т. 2.
14. Симонов И. В. Контактные задачи расклинивания упругих тел // Механика контактных взаимодействий / Под ред. В. М. Александрова и И. И. Воровича. – Москва: Физматлит, 2001. – С. 654–667.
 15. Симонов И. В. О расклинивании кусочно-однородной упругой среды // Прикл. математика и механика. – 1985. – **49**, № 2. – С. 275–283.
 16. Симонов И. В. Трещина на границе раздела двух упругих сред при расклинивании // Изв. АН СССР. Механика твердого тела. – 1985. – № 3. – С. 105–112.
 17. Улитко А. Ф. Полубесконечный разрез вдоль границы жестко соединенных полуплоскостей из различных материалов // Современ. проблемы механики сплошной среды. – Ростов-на-Дону: Книга, 1995. – С. 185–193.
 18. Черепанов Г. П. Механика хрупкого разрушения. – Москва: Наука, 1974. – 640 с.
 19. Черепанов Г. П. Решение одной краевой задачи Римана для двух функций и ее приложение к некоторым смешанным задачам плоской теории упругости // Прикл. математика и механика. – 1962. – **26**, № 5. – С. 907–912.
 20. Comninou M. Interface crack with friction in the contact zone // Trans. ASME. J. Appl. Mech. – 1977. – **44**, No. 4. – P. 780–781. – <https://doi.org/10.1115/1.3424179>.
 21. Klimchuk T. V., Ostriuk V. I. Frictional contact between an elastic strip and a semi-infinite punch with rounded edge // Acta Mechanica. – 2017. – **228**, No. 10. – P. 3619–3631.
 22. Maiti M. On the equilibrium of a Griffith crack opened by a rigid inclusion // SIAM J. Appl. Math. – 1980. – **38**, No. 2. – P. 209–214.
 23. Maiti M. On the extension of a crack due to rigid inclusions // Int. J. Fract. – 1979. – **15**, No. 4. – P. 389–393.
 24. McCartney L. N. General solution of a certain mixed boundary value crack problem // Int. J. Eng. Sci. – 1983. – **21**, No. 2. – P. 131–142.
 25. Tweed J. The stress intensity factor of a Griffith crack which is opened by a thin symmetric wedge // J. Elasticity. – 1971. – **1**, No. 1. – P. 29–35.

WEDGING OUT OF AN ELASTIC HALF-PLANE ALONG THE BOUNDARY SEMI-INFINITE CRACK

The equilibrium of an elastic half-plane with a semi-infinite crack on its boundary is considered. The edge of the crack at a certain distance from its tip is in contact with a rigid semi-infinite wedge, and near it – with a rigid base. Frictional forces are taken into account in the domain of contact between the crack edge and the rigid base. Using the Wiener – Hopf method, an analytical solution of the problem is obtained. The boundaries of the contact domains, stress distributions in these domains and on the border of the half-plane outside the crack as well as the mode II stress intensity factors are found.

Key words: *wedging out, boundary crack, Comninou's model, Mellin integral, Wiener – Hopf method, mode II stress intensity factor.*